

大阪大学工学部

正員 小笠原夫

立命館大学理工学部

○正員 小林義士

I はしがき

自然風中において構造物に作用する空気力の特性を把握するため、筆者らは豊里大橋において風向風速および主けたに作用する風圧力の観測を行なってきた。^{1), 2)} 本報告は主けたに作用する風圧力の測定値を解析し、その不規則性について考察を試みたものである。

II 測点および解析の方法

測点は図-1に示す通りで、W₁は風向風速計、Pは風圧力を表わす。2分間の記録を0.13秒ごとに読みとり、解析した。10分間平均風速は約10 m/sec. であった。

III 解析結果と考察

1 各測点の風圧力の特性

表-1に約30分おきに3回測定した各測点の平均風圧力、乱れの強さを示す。また図-2, 3にそれぞれ風圧力の自己相関係数、パワースペクトルを示す。これらより風圧力の統計的性は風下側のウエブ(P₄, P₅, P₆)、底面(P₈)および風上側のウエブ(P₁₀, P₁₁, P₁₂)の3グループに大別され、それぞれ特徴のあるパターンを示していることがわかる。

すなわち i) 亂れの強さは風上側ウエブで0.3~0.5、風下側ではかなり高くなり1.0~3.0となっている。

ii) 自己相関をみるとそれら3グループの間にかなり明白な差が現われ、特に風下側ウエブの風圧の相関からにはっきりと約2秒の周期を有する変動が読みとれる。生じたの後流側に同周期の渦が現われたものと考えられる。

Table 1 Mean and variance of wind pressure

Case	1		2		3		$\times 10^2 \text{ kg/m}^2$		
	\bar{P}	$\sqrt{\bar{P}^2 - \bar{P}^2}$	\bar{P}	$\sqrt{\bar{P}^2 - \bar{P}^2}$	\bar{P}	$\sqrt{\bar{P}^2 - \bar{P}^2}$			
P-4	-75	486	6.48	-37	51	1.38	-21	71	3.38
P-5	-108	162	1.50	-86	124	1.44	-101	79	0.78
P-6	-39	87	2.44	-40	56	1.40	-45	80	1.78
P-8	-199	228	1.15	-143	113	0.79	-229	90	0.39
P-10	190	93	0.49	219	82	0.37	212	62	0.29
P-11	450	153	0.34	436	137	0.31	232	85	0.37
P-12	630	264	0.42	366	189	0.52	206	126	0.61

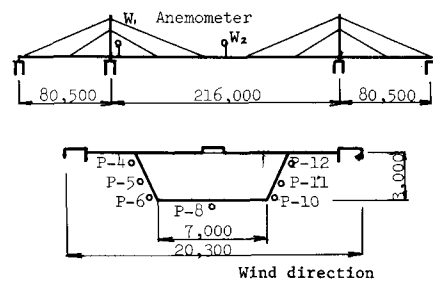


Fig. 1 Arrangement of anemometers and wind-pressure transducers

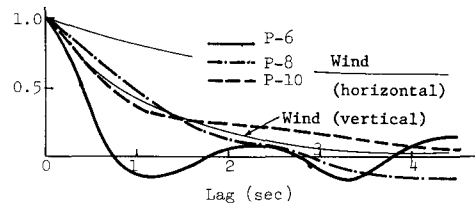


Fig. 2 Autocorrelation coefficient

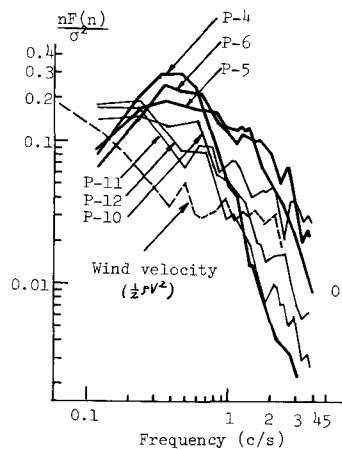


Fig. 3 Power spectrum of wind pressure

1) 小松小林、豊里大橋に作用する風の構造について、土木学会関西支部 毎次講演会 昭和45年5月

2) 小松小林、豊里大橋に作用する空気力の特性に関する実験的研究 土木学会関西支部毎次講演会 昭和46年5月

風上側ウエブの相関は風速の鉛直成分の自己相関とよく似ている。 iii) パワースペクトルの図からも上述と同周期の渦が発生していることが推察される。 すなむち風下側のスペクトルは $0.4 \sim 0.5$ c/s に著しいピークを有している。 これに対するストローハル数は $S = N \cdot H / V = 0.12 \sim 0.15$ である。 この数値は台形箱形断面に対する風洞実験³⁾値にはば一致する。

2. 断面まわりの流れのパターン

i) 相互相関：各測点の風圧の相互相関を図-4に示す。（ R_{10-11} は P_0 と P_{11} との相互相関を示す）同一ウエブにおける風圧は $\bar{c}=0$ 付近でかなり高い相間を示しているが、ウエブと底面の風圧の相間は全くなない。 風下側ウエブにおける相互相関 $R_{4-5}, R_{5-6}, R_{4-6}$ が顕著に認められる。 これは渦のスケールが測点 P_4 と P_6 にまたがる程度の大きさをもつためと考えられる。 ii) 相互相関のピークは図-4にみられるように $\bar{c}=0$ より少しずれている。 そのずれ量で測点間の距離を除して乱れの移動方向と速度 V が求められる。⁴⁾ そのようにして求めた値をもとに断面まわりの流れのパターンを求めると図-5のようになる。

3. 自然風のスペクトルと風圧力のスペクトルの比較

風圧力のスペクトル F_p を自然風のスペクトル F_v で除し $|A(\omega)|^2 = F_p / F_v$ とすれば、 $A(\omega)$ は自然風を input、主ケヤクに作用する風圧力を output と考えたときのアドミッタンス (Aerodynamic admittance) である。 この $A(\omega)$ により自然風の乱れのスペクトルが変形され、その変形後のスペクトルを有する空気力が主ケヤクに作用することになる。 図-6 に $|A(\omega)|^2$ を示す。 図中 "Total" は $P_4 \sim P_{12}$ の水平成分を用いて積分した抗力のスペクトルである。 前述の通り $0.4 \sim 0.5$ c/s にピークがみられる。

IV 数値計算例(主ケヤクに作用する変動抗力)

アドミッタンスを用い、風速のデータより主ケヤクに作用する変動抗力を計算することができる。 計算結果は絶対の都合により講演時に発表する。

V 結び

主ケヤクの各点における変動圧力の特性が明らかされた。 断面まわりの流れのパターンを求めることができた。 自然風の不規則性と空気力の不規則性との関連を Aerodynamic admittance を介して関連づけることができた。

3) 山口他、長大ケヤク橋の振動に関する実験的研究、三菱重工技報 Vol.7, No.7, 1970

4) 磯部編、相関函数およびスペクトル、東大出版会、1962, P.P. 182~190

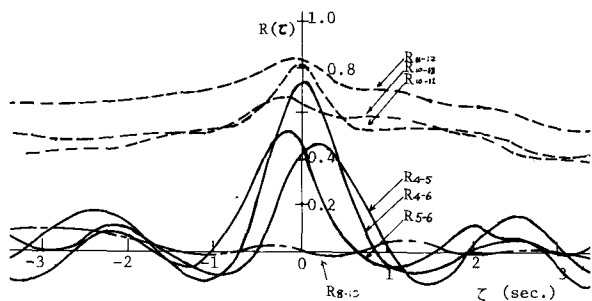


Fig. 4 Cross correlation

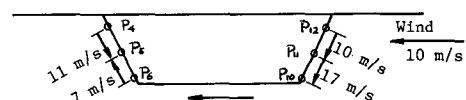


Fig. 5 Flow around girder

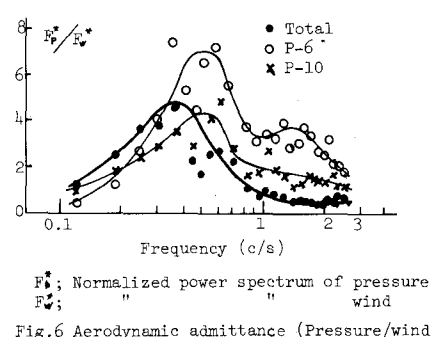


Fig. 6 Aerodynamic admittance (Pressure/wind velocity)